网络出版时间:2024 - 11 - 18 16:06:13 网络出版地址: https://link.cnki.net/urlid/34.1065. R. 20241115.1540.001 ◇基础医学研究◇

MicroRNA-141-5p/ABCG1 逆转 慢性粒细胞白血病 K562 细胞对伊马替尼的耐药性

许 晗,许婷婷,汪万杰,鲍 静 (安徽医科大学第一附属医院血液内科,合肥 230022)

摘要 目的 探究 miR-141-5p 在慢性粒细胞白血病(CML)的作用机制及其对甲磺酸伊马替尼(IM)耐药性的影响。方法 qRT-PCR 检测 IM 耐药和敏感患者 miR-141-5p mRNA 水平;Western blot 法分别检测 K562 和 K562/G01 细胞转染前后 MMP-3、MMP-9、Bcl-2 等蛋白的表达情况;CCK-8 检测 K562 和 K562/G01 细胞活性;荧光素酶实验检测 miR-141-5p 与 ABCG1 的结合情况;裸鼠成瘤验证 miR-141-5p 在体内对肿瘤的影响。结果 miR-141-5p 在 IM 耐药的 CML 患者和 K562/G01 细胞中下调,且 miR-141-5p 的过表达可以抑制 IM 耐药 CML 细胞的生长并促进其调亡。对荷瘤小鼠的研究表明,miR-141-5p 在体内抑制肿瘤生长。miR-141-5p 可以直接靶向作用于 IM 耐药 CML 细胞中的 ABCG1 调控 CML 发生。结论 miR-141-5p 和 ABCG1 形成竞争性内源性 RNA(ceRNA)网络,在 IM 耐药性中发挥作用,从而抑制 CML 的进展。

关键词 慢性粒细胞白血病;miR-141-5p;伊马替尼;ABCG1;耐药;K562

中图分类号 R 733.7

文献标志码 A 文章编号 1000 - 1492(2024)11 - 1887 - 10 doi:10.19405/j. cnki. issn1000 - 1492.2024.11.001

慢性粒细胞白血病(chronic myelocytic leukemia,CML)是一种骨髓增生性疾病,可通过费城(philadelphia, Ph)染色体的存在进行细胞遗传学识别, Ph 染色体的形成是9号染色体和22号染色体长臂之 间相互易位的结果^[1]。易位产生的断裂点簇区(recombinant breakpoint cluster region, BCR)和原癌基 因 ABL 基因的融合产生嵌合癌基因 BCR-ABL,其编 码的蛋白显著增强酪氨酸激酶活性,从而激活导致 CML 发生的下游信号通路^[2]。酪氨酸激酶抑制剂 (tyrosine kinase inhibitors, TKIs)通过竞争性结合酪 氨酸激酶催化剂位点上的 ATP 结合位点,使酪氨酸 激酶失活,从而实现 CML 的靶向治疗^[3]。伊马替尼 (imatinib, IM)是第一种用于治疗 CML 的酪氨酸激 酶抑制剂,可提高总体生存[4]。但对伊马替尼的耐 药性已成为慢性粒细胞白血病治疗的临床障碍[5]。 因此,探索 IM 耐药性的新机制和 CML 治疗的靶点 迫在眉睫。之前的研究^[6]显示 miR-141-5p 抑制 K562 细胞的增殖。该研究探讨了 miR-141-5p 与 CML IM 耐药性的关系及其控制 IM 耐药性的机制,为提高 IM 的疗效提供新的理论依据,为耐药干预提供新的靶点。

1 材料与方法

1.1 材料

1.1.1 临床样本 收录安徽医科大学第一附属医院 50 例接受 IM 治疗的 CML 患者外周血标本。根据以下标准将患者分为 IM 耐药组和敏感组: IM 治疗 6 个月后 BCR-ABL 大于 10% 或治疗 12 个月后 BCR-ABL 大于 1% 的患者纳入耐药组,反之纳入敏感组。所有患者均已进行骨髓细胞形态学分析、染色体核型分析和融合基因检查,符合 CML 的诊断和分析标准并签署知情同意书,安徽医科大学伦理委员会批准本实验(20200040)。

1.1.2 实验动物 30 只雌性 4~6 周龄 BALB/c 小鼠,体质量 (20 ± 2) g,饲养于 SPF 级实验室中,室温保持在 22~24 ℃,湿度保持在 50%~55%,光线控制为明暗交替 $(12\ h\ H)$ 与 $(12\ h\ H)$,垫料与饮用水均经高压灭菌处理。

1.1.3 主要试剂与仪器 K562 细胞购自上海细胞 生物学研究所; K562/G01 细胞购自中国医学科学

2024 - 10 - 18 接收

基金项目:安徽省自然科学基金项目(编号:2008085MH296);安徽 医科大学科学研究基金项目(编号:2020xkj186);安徽省 教育厅高校科研计划重点项目(编号:2022AH051178)

作者简介:许 晗,女,硕士研究生;

鲍 静,女,博士,副主任医师,硕士生导师,通信作者,E-mail;baojing@ahmu.edu.cn

院血液学研究所。PVDF 膜购自美国 Millipore 生物公司; Lipofectamine 2000 购自美国 Thermo Fisher Scientific 生物公司。基质金属蛋白酶-3 (matrix metalloproteinase-3, MMP-3)、基质金属蛋白酶-9 (matrix metalloproteinase-9, MMP-9)、细胞凋亡调控因子(B-cell lymphoma-2 associated X protein, Bax)、B 淋巴细胞瘤-2 (B-cell lymphoma-2, Bcl-2)、caspase-3、ATP结合盒转运蛋白 G1 (ATP-binding cassette G1, ABCG1)和甘油醛-3-磷酸脱氢酶(glyceraldehyde-3-phosphate dehydrogenase, GAPDH)购自美国 Abcam 生物公司。QPCR 仪购自美国伯乐公司(CFX Connect); Bioshine ChemiQ 化学发光凝胶成像系统购自美国伯乐公司(ChemiDoc)。

1.2 方法

- 1.2.1 细胞培养 所有细胞均在含有 10% 胎牛血清、1% 青霉素 链霉素的 RPMI 1640 培养基中培养,置于 37% 5% CO_2 培养箱内。取对数生长期的细胞,加入不同浓度 $(1,2,4 \mu nol/L)$ 的 IM,24 h 后收集细胞用于后续实验。
- 1.2.2 荧光素酶报告基因测定 基于 TargetScan 的结果,构建了含有 pmirGLO 野生型(wide type, WT)和 pmirGLO-突变体(mutant,MUT)的 ABCG1 基因的 3'UTR 片段。将人慢性髓系白血病细胞(K562细胞)与 miR-141-5p 模拟物 + ABCG1 WT/MUT 共转染 48 h, PBS 洗涤 2 次。最后,通过双荧光素酶报告基因测定系统观察荧光素酶活性。
- 1.2.3 qRT-PCR TRIzol 法提取细胞总 RNA,使用 逆转录试剂盒逆转录合成 cDNA,使用 SYBR Premix Ex Taq II 进行 qRT-PCR。所有操作严格按照试剂 盒说明书执行。RT-qPCR 涉及的引物如表 1 所示。

表 1 qRT-qPCR 的序列 Tab. 1 The sequence primers for qRT-qPCR

Gene	Forward (5'-3')	Reverse (5'-3')
miR-141-5p	GTCGTATCCAGTGCAGGG	CGACGTAACACTGTCTGG
U6	CTCGCTTCGGCAGCACA	AACGCTTCACGAATTTGCGT
ABCG1	CAGGGACCTTTCCTATTCGG	GGCCACCAACTCACCACTAT
GAPDH	TCCGTGGTCCACGAGAACT	GAAGCATTTGCGGTGGACGAT

1.2.4 细胞转染 取对数生长期的 K562 和 K562/G01 细胞,以 1×10^5 个/ml 的细胞密度分别接种至 6 孔细胞培养板,利用 Lipofectamine 2000 转染试剂分别转染 miR-141-5p mimics, miR-141-5p inhibitor, ABCG1 过表达质粒及其对照,IM 治疗 24 h 后检测对细胞的影响,包括增殖、凋亡、迁移和侵袭。

- 1.2.5 CCK-8 检测细胞活性 取对数生长期的 K562 和 K562/G01 细胞接种到 96 孔板中。向每个 孔中加入 CCK-8(10 μl)溶液,37 ℃、5% CO₂ 培养箱中孵育 4 h;酶标仪 450 nm 波长测出同一时间点 吸光度(absorbance, A)值, 用测得的 A 值进行细胞增殖影响的分析。
- 1.2.6 软琼脂集落形成试验检测细胞增殖 在24 孔板中的软琼脂上培养转染后的细胞3周。4%多聚甲醛和0.1%结晶紫染色固定细胞15 min 和20 min,随机选择10个视场进行计数、拍照和统计分析。
- 1.2.7 流式细胞术检测细胞凋亡 细胞转染 48 h 后,离心收集细胞,加入 200 μl 结合缓冲液和 5 μl Annexin V-FITC 试剂并混合,将混合物在室温下的暗室中保持 15 min 后加入 5 倍体积的碘化丙啶,孵育 15 min 后流式细胞仪分析结果。
- 1.2.8 Western blot 实验 将细胞置于 RIPA 裂解缓冲液中充分裂解,于 4 $^{\circ}$ 、12 000 r/min 将刮棒刮取的细胞离心 5 min 得到细胞总蛋白。使用 BCA蛋白测定试剂盒检测蛋白浓度,将蛋白样品煮沸 10 min 后,在 SDS-PAGE 凝胶上分离。转移至 PVDF 膜上,使用脱脂牛奶常温封闭 1 h,加入一抗,4 $^{\circ}$ 条件下与 PVDF 膜孵育过夜。次日,加入二抗与 PVDF 膜在室温下孵育 1 h,ECL 显影。一抗 MMP-3 (1:1000), MMP-9 (1:1000), Bax (1:1000), Bcl-2 (1:1000), caspase-3 (1:1000), ABCG1 (1:1000) 和 GAPDH (1:4000)作为二抗。
- 1.2.9 肿瘤异种移植物实验 miR-141-5p agomir 或对照 agomir 转染后,胰蛋白酶消化 K562/G01 细胞并制成细胞悬浮液。随后,将细胞悬浮液(1×10⁷个/只小鼠)皮下接种到 BALB/c 裸鼠左侧腋下。接种 3 d 后,将成功接种的裸鼠随机分为两组(每组 6 只),每天喂食 IM 或生理盐水(100 mg/kg),记录每周肿瘤大小和体积。上述动物实验经安徽医科大学伦理委员会批准进行(20190657)。
- 1.2.10 免疫组织化学 对肿瘤组织切片进行脱水和闭合,而后将切片与抗 Ki67 工作溶液在 4°C 下孵育过夜。切片在常温下用生物素标记的二抗处理30 min 之后, DAB 染色。最后,对切片进行脱水、清理、密封和显微镜检查。
- 1.2.11 TUNEL 用 4% 多聚甲醛固定细胞 30~60 min, PBS 洗涤 2次, 加入含 0.1% Triton X-100的 PBS, 冰上孵育 2 min, 用抗荧光淬灭封片液封片后

荧光显微镜下观察。

1.3 统计学处理 统计数据以 $\bar{x} \pm s$ 表示,t 检验用于比较两组均数。采用受试者工作特征(receiver operating characteristic, ROC) 曲线评估 miR-141-5p 检测对 CML 诊断的预测价值,使用 Kaplan-Meier 曲线进行生存分析。每个实验独立重复 3 次。P < 0.05 为差异有统计学意义。

2 结果

2.1 IM 耐药性 CML 中 miR-141-5p 的表达明显下调 qRT-PCR 结果显示在 IM 耐药组患者的 miR-141-5p 表达远低于 IM 敏感组(图 1A)。此外, miR-141-5p 在 IM 耐药性细胞株 K562/G01 细胞中的表达水平远低于正常 K562 细胞(图 1B)。通过 ROC 曲线分析评估 miR-141-5p 对 CML 的诊断潜力,曲线下面积(area under the curve, AUC)为 0. 839(P < 0.001;95% CI: 0. 728 ~ 0. 949), 这表明 miR-141-5p

在预测 CML 方面具有敏感性和特异性(图 1C)。根据 Kaplan-Meier 分析, miR-141-5p 的低表达与较差的总生存率有关(图 1D)。

2.2 miR-141-5p 过表达增强 K562/G01 细胞对伊马替尼的敏感性 CCK-8 结果显示,在 IM 诱导的环境下,K562 细胞表现出比 K562/G01 细胞更低的存活率,且随着 IM 浓度的增加,尤其是在 4 μmol/L的 IM 浓度下,这种趋势更加明显(图 2A)。为了研究 miR-141-5p 过表达与 CML 和 IM 敏感性之间的关系,用 miR-141-5p mimics 及其对照转染 K562 和 K562/G01 细胞。q-PCR 结果证明转染成功(图 2B)。之后,功能学实验显示 miR-141-5p mimics 降低了 K562 和 K562/G01 细胞的活力并抑制了增殖,但 IM 仅影响 K562/G01 细胞的活力并抑制了增殖,但 IM 仅影响 K562 细胞,对 K562/G01 细胞没有影响。miR-141-5p mimics 与 IM 共同作用后对 K562 细胞的抑制作用大于 miR-141-5p mimics 或 IM 单独对 K562/G01 细胞中细胞存活和增殖的影响(图

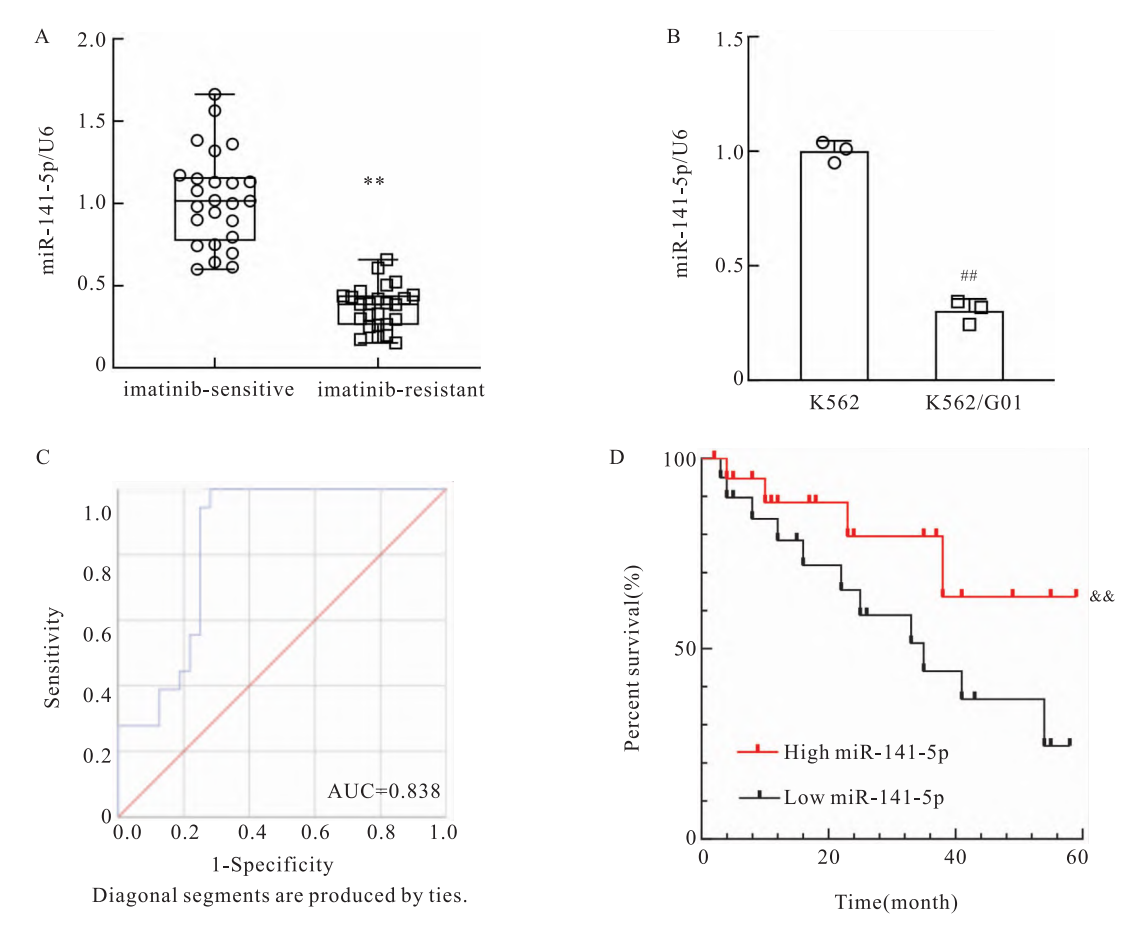
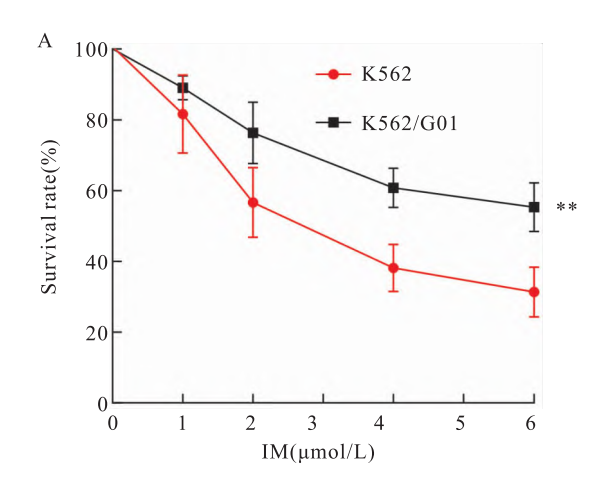


图 1 miR-141-5p 在 IM 耐药 CML 血清中的表达明显下调

Fig. 1 The expression of miR-141-5p was significantly downregulated in the serum of IM resistant CML

A: The expression levels of miR-141-5p in IM-sensitive and IM-resistance CML patients; B: MiR-141-5p expression in K562 and K562/G01 cells; C: ROC of MiR-141-5p in CML patients; D: Survival analysis based on IM-resistance CML with high-level or low-level miR-141-5p; ** P < 0.01 vs imatinib-sensitive; ##P < 0.01 vs K562 cell; ** P < 0.01 vs Low miR-141-5p.



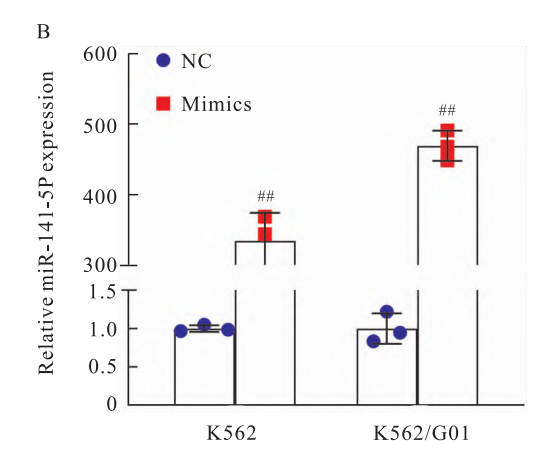


图 2 miR-141-5p 的表达 Fig. 2 The expression of miR-141-5p

A: Cell survival rate under different concertation IM measured using CCK-8 assay; B: The transfection efficiency detected using PCR assay; ** $P < 10^{-5}$

3A、B),在迁移和侵袭相关蛋白 MMP-3 和 MMP-9 的检测中观察到类似的结果(图3C)。此外,相比于miR-141-5p mimics 或 IM 单独作用时的促凋亡作用,miR-141-5p mimics 和 IM 联合使用进一步促进了 K562 细胞的凋亡,但对 K562/G01 细胞的凋亡率

几乎没有差异(图 3D)。表明 miR-141-5p 可以抑制 K562/G01 的生长并促进其凋亡。

0. 01 vs K562, $^{\#\#}P < 0.$ 01 vs NC.

2.3 miR-141-5p 在体内降低 K562/G01 细胞对 **IM 的耐药性** 接下来,通过使用裸鼠异种移植物 模型进一步验证 miR-141-5p 降低 CML 细胞生长。 皮下植入已用 miR-141-5p agomir 预处理的 K562/ GO1 细胞于 BALB/c 小鼠中,而后分为 IM 处理组和 空白对照组。同对照组相比, miR-141-5p agomir 组 的肿瘤生长明显减少,而 IM 治疗组的差异很小,表 明 miR-141-5p agomir 与 IM 共同作用后对肿瘤生长 的抑制作用不大于单独的 miR-141-5 agomir(图 4A、 B)。根据 IHC 和 TUNEL 测定, miR-141-5p 的过表 达显著抑制了增殖相关蛋白 Ki-67 的表达和促进细 胞凋亡,而 IM 在增殖或凋亡中的作用相当有限; miR-141-5p agomir 和 IM 的组合具有与 miR-141-5p agomir 相似的效果(图 4C、D)。这些结果进一步证 明了 miR-141-5p 在体内降低了 K562/G01 细胞的 IM 耐药性。

2.4 ABCG1 是 miR-141-5p 的直接靶标 在线数据库表明 ABCG1 被预测为 miR-141-5p 的靶标之一(图 5A)。通过荧光素酶报告基因测定评估 miR-141-5p 和 ABCG1 在 K562 细胞中之间的相关性,揭示 miR-141-5p mimics 显著降低了由 ABCG1 WT 驱

动的荧光素素酶活性,而对 ABCG1 MUT 驱动的荧光素酶活性没有显著影响(图 5B)。此外,在 miR-141-5p mimics 组中, K562 和 K562/G01 细胞中 AB-CG1 蛋白和 mRNA 水平降低,而在抑制剂组中升高(图 5C、D),这表明 miR-141-5p 负调控 ABCG1 表达。同样,在 CML 患者中, IM 耐药性表现出比 IM 敏感组更高的 ABCG1 表达,且 miR-141-5p 水平和 ABCG1 水平呈负相关性(图 5E、F)。

2.5 miR-141-5p 通过靶向 ABCG1 调节 CML 细胞的 IM 敏感性 使用 qRT-PCR 和 Western blot 确定转染的有效性(图 6)。当 ABCG1 过表达时,在 IM 处理条件下观察到 miR-141-5p mimics 对 K562和 K562/G01细胞活力和增殖的抑制作用的部分逆转(图 7A、B)。在 miR-141-5p mimics 的作用下,IM 诱导的 K562或 K562/G01细胞中 MMP-3和 MMP-9表达的抑制被 ABCG1过表达逆转(图 7C)。此外,流式细胞术实验显示,ABCG1的上调逆转了在 IM 诱导的 K562和 K562/G01细胞中 miR-141-5p mimics 参与的对细胞死亡的促进作用(图 7D)。上述数据表明 miR-141-5p 通过靶向 ABCG1调节 CML细胞的 IM 敏感性。

3 讨论

CML 是一种发生在骨髓系统中的获得性恶性造血干细胞疾病。作为首批合成 TKI 之一, IM 已被证明在 CML 治疗中非常有效^[7]。然而,越来越多的 CML 患者对 IM 表现出原发性或继发性耐药性,这会影响预后和生活质量^[8]。因此,探索IM耐药性

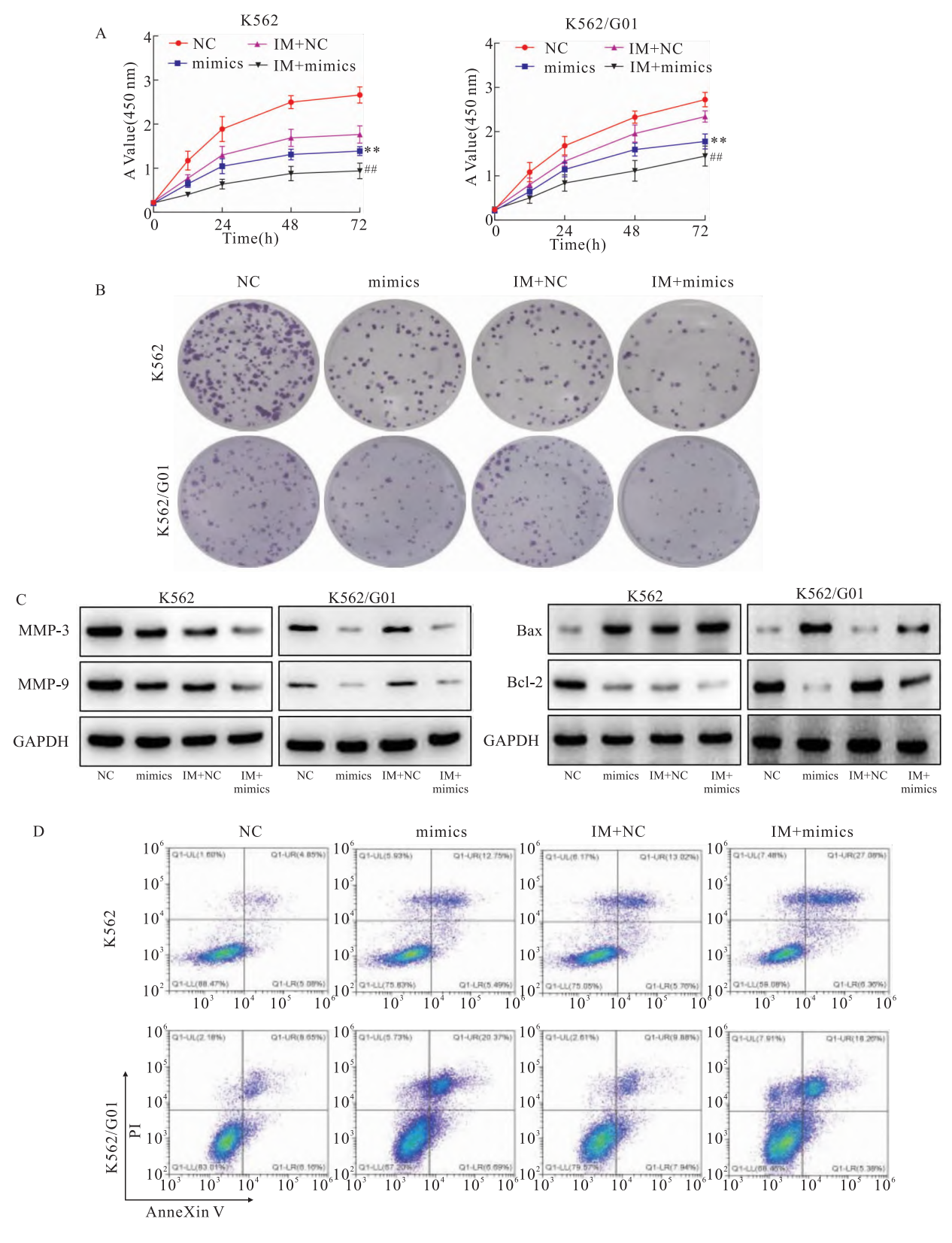


图 3 miR-141-5p 的过表达增强了 K562/G01 细胞中伊马替尼的敏感

Fig. 3 Overexpression of miR-141-5p enhanced the sensitivity of imatinib in K562/G01 cells

A; Cell viability characterized by CCK-8 method; B; Cell proliferation assessed by colony formation assay; C; The migration and invasion-related and cell apoptosis-related proteins tested by western blot analysis; D; Cell apoptosis tested by flow cytometry assay; ** $P < 0.01 \ vs \ NC$; ** $P < 0.01 \ vs \ NC$; ** $P < 0.01 \ vs \ NC$; ** $P < 0.01 \ vs \ NC$; ** $P < 0.01 \ vs \ NC$; ** $P < 0.01 \ vs \ NC$; ** $P < 0.01 \ vs \ NC$; ** $P < 0.01 \ vs \ NC$; ** $P < 0.01 \ vs \ NC$; ** $P < 0.01 \ vs \ NC$; ** $P < 0.01 \ vs \ NC$; ** $P < 0.01 \ vs \ NC$; ** $P < 0.01 \ vs \ NC$; ** $P < 0.01 \ vs \ NC$; ** $P < 0.01 \ vs \ NC$; ** $P < 0.01 \ vs \ NC$; ** $P < 0.01 \ vs \ NC$; ** $P < 0.01 \ vs \ NC$; ** $P < 0.01 \ vs \ NC$; ** $P < 0.01 \ vs \ NC$; ** $P < 0.01 \ vs \ NC$; ** $P < 0.01 \ vs \ NC$; ** $P < 0.01 \ vs \ NC$; ** $P < 0.01 \ vs \ NC$; ** $P < 0.01 \ vs \ NC$; ** $P < 0.01 \ vs \ NC$; ** $P < 0.01 \ vs \ NC$; ** $P < 0.01 \ vs \ NC$; ** $P < 0.01 \ vs \ NC$; ** $P < 0.01 \ vs \ NC$; ** $P < 0.01 \ vs \ NC$; ** $P < 0.01 \ vs \ NC$; ** $P < 0.01 \ vs \ NC$; ** $P < 0.01 \ vs \ NC$; ** $P < 0.01 \ vs \ NC$; ** $P < 0.01 \ vs \ NC$; ** $P < 0.01 \ vs \ NC$; ** $P < 0.01 \ vs \ NC$; ** $P < 0.01 \ vs \ NC$; ** $P < 0.01 \ vs \ NC$; ** $P < 0.01 \ vs \ NC$; ** $P < 0.01 \ vs \ NC$; ** $P < 0.01 \ vs \ NC$; ** $P < 0.01 \ vs \ NC$; ** $P < 0.01 \ vs \ NC$; ** $P < 0.01 \ vs \ NC$; ** $P < 0.01 \ vs \ NC$; ** $P < 0.01 \ vs \ NC$; ** $P < 0.01 \ vs \ NC$; ** $P < 0.01 \ vs \ NC$; ** $P < 0.01 \ vs \ NC$; ** $P < 0.01 \ vs \ NC$; ** $P < 0.01 \ vs \ NC$; ** $P < 0.01 \ vs \ NC$; ** $P < 0.01 \ vs \ NC$; ** $P < 0.01 \ vs \ NC$; ** $P < 0.01 \ vs \ NC$; ** $P < 0.01 \ vs \ NC$; ** $P < 0.01 \ vs \ NC$; ** $P < 0.01 \ vs \ NC$; ** $P < 0.01 \ vs \ NC$; ** $P < 0.01 \ vs \ NC$; ** $P < 0.01 \ vs \ NC$; ** $P < 0.01 \ vs \ NC$; ** $P < 0.01 \ vs \ NC$; ** $P < 0.01 \ vs \ NC$; ** $P < 0.01 \ vs \ NC$; ** $P < 0.01 \ vs \ NC$; ** $P < 0.01 \ vs \ NC$; ** $P < 0.01 \ vs \ NC$; ** $P < 0.01 \ vs \ NC$; ** $P < 0.01 \ vs \ NC$; ** $P < 0.01 \ vs \ NC$; ** $P < 0.01 \ vs \ NC$; **P

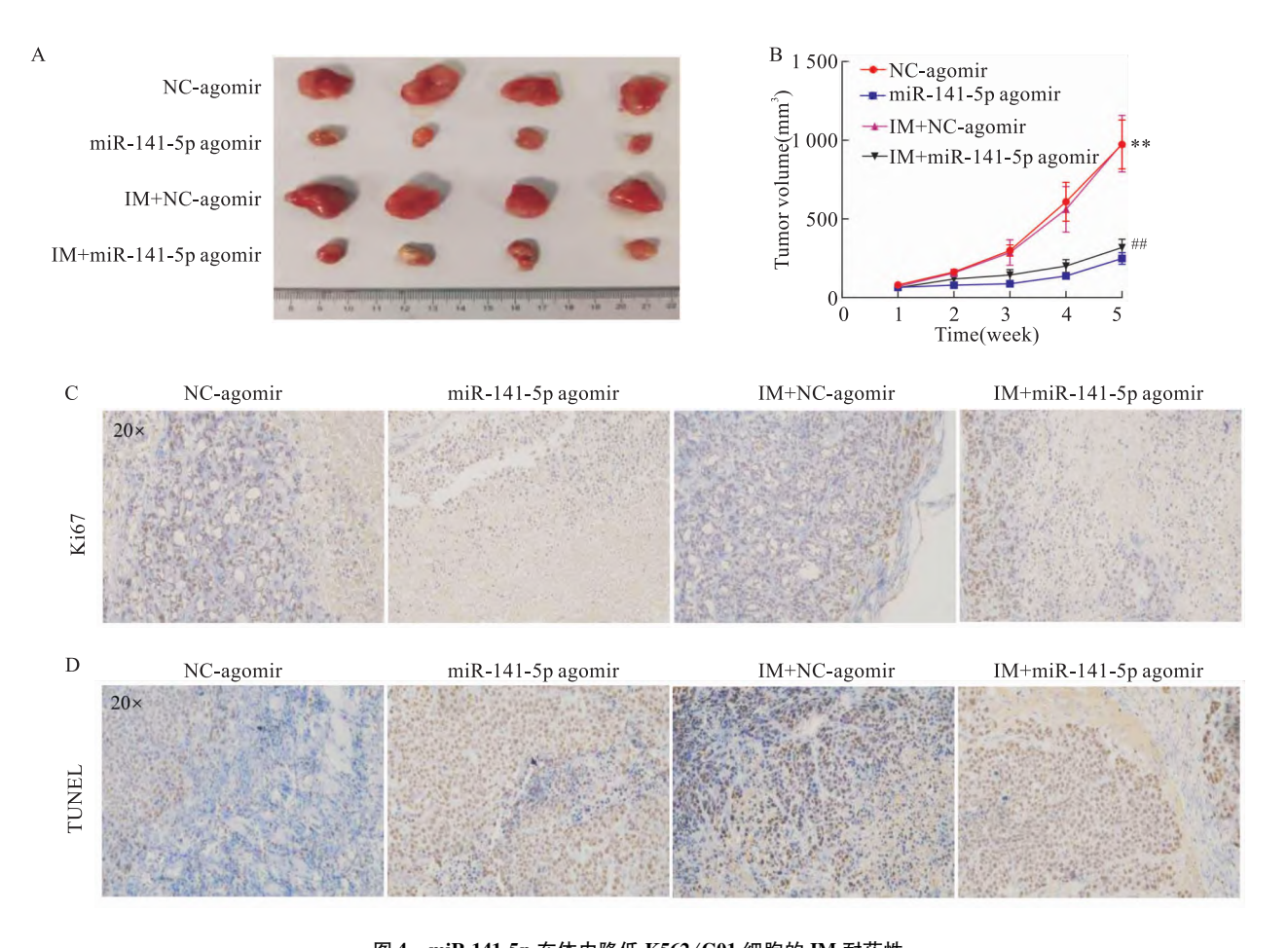


图 4 miR-141-5p 在体内降低 K562/G01 细胞的 IM 耐药性 Fig. 4 miR-141-5p reduces IM resistance in K562/G01 cells *in vivo*

A: Images of tumors in different group; B: Tumor volumes of mice; C: The protein level of Ki67 measured by immunohistochemistry; D: Cell apoptosis measured by TUNEL assay; ** P < 0.01 vs IM + NC-agomir; ##P < 0.01 vs IM + miR-141-5p agomir.

的机制并为 CML 患者的临床应用提供耐药性干预 靶点至关重要。在之前的一项研究中, miR-141-5p 在 CML 患者和 CML K562 细胞中低表达^[6], 而在本研究中, IM 耐药的 CML 患者的 miR-141-5p 表达水平明显低于 IM 敏感患者,且当 ABCG1 的表达受到具有抗肿瘤特性的 miR-141-5p 的调节时, IM 耐药的 CML 患者更容易受到 IM 的影响。

研究^[9]表明,miRNA可作为肿瘤临床诊断的标志物,并为临床癌症诊断和治疗提供新的思。研究^[10]表明 miRNA 在慢性粒细胞白血病中发挥着重要作用,如过度表达的 miR-155可促进 CML 细胞凋亡^[11]。miRNA-141 是 miR-200 家族的一个成员,其在前列腺癌起着肿瘤抑制基因的作用^[12]。本研究的功能试验表明,在 IM 诱导的环境中,K562 细胞的存活率低于 K562/G01 细胞,且随着 IM 浓度的增加,这种趋势更加明显。miR-141-5p 过表达显著改善了 IM 对 K562 细胞活力、增殖、迁移、侵袭和调亡

的影响,而 miR-141-5p-mimics 同 IM 组合对 K562/G01 细胞活力、增生、迁移、入侵和凋亡的作用与单独表达 miR-141-5p-mimics 相似,表明该 miRNA 的过表达增强了 K562/G01 细胞中的 IM 敏感性。此外,在体内也观察到类似的结果。

许多研究表明,miRNA 通过结合信使核糖核酸 3UTR上的互补序列来限制靶基因的表达并阻止其翻译,从而与信使核糖核酸竞争,从而在肿瘤发生、侵袭、转移和耐药性方面具有重要意义^[13]。更重要的是,miR-141-5p 的机制在具有 IM 耐药性的 CML的分子水平上被清楚地揭示。TargetScan 数据库显示 ABCG1 是 miR-141-5p 的一个作用靶点,其表达水平与 miR-141-5p 的表达呈负相关,参与 CML 细胞增殖迁移。挽救实验表明,miR-141-5p 通过靶向 ABCG1 调节 CML 细胞的 IM 敏感性。

课题组重点关注了 miRNA 和 ABCG1 对 IM 耐 药性的影响,而其具体作用机制有待进一步研究。

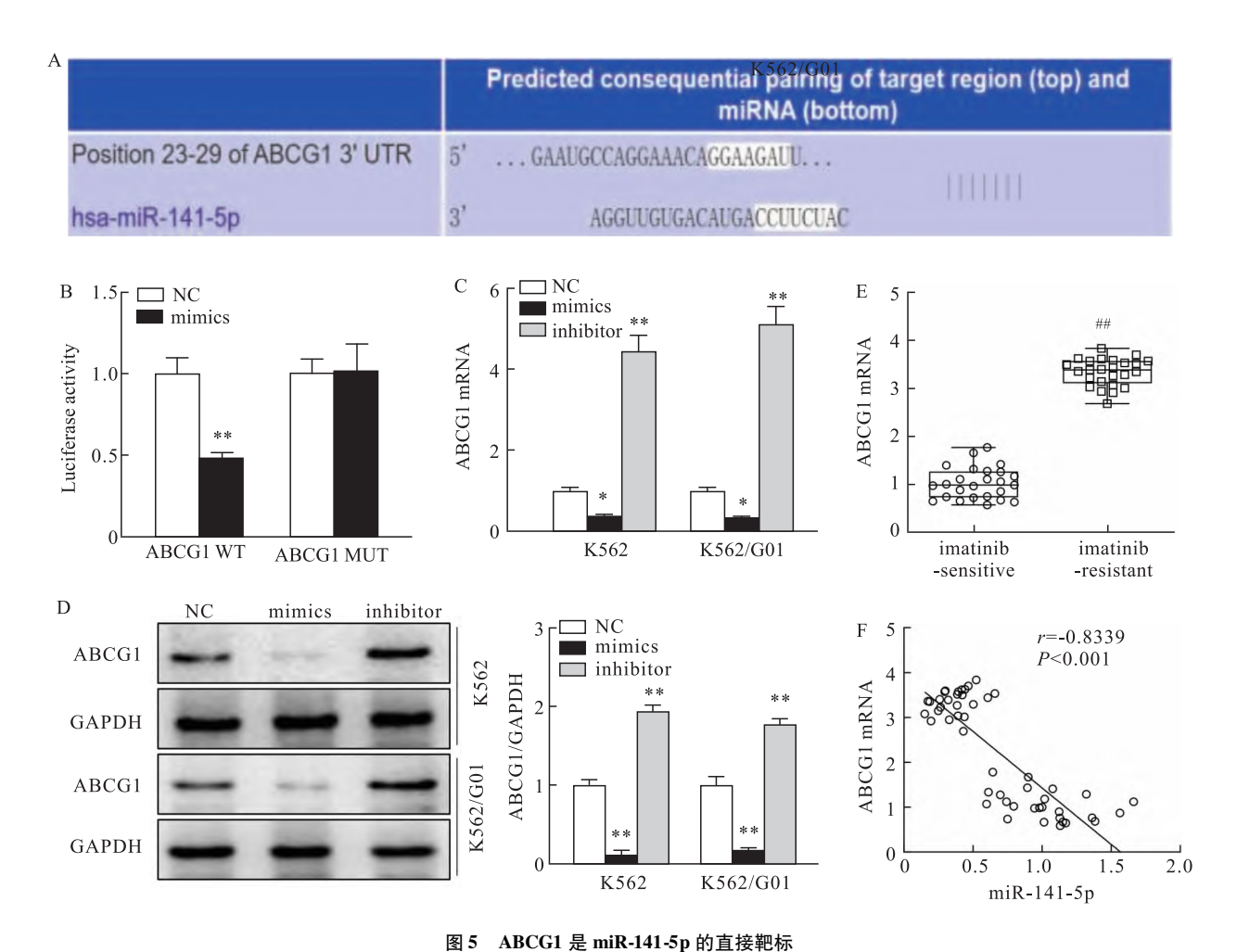


Fig. 5 ABCG1 was one direct target of miR-141-5p

A:Bioinformatics software was used to predict the binding sites between miR-141-5p and ABCG1; B:Luciferase reporter gene assay demonstrated the interaction between miR-141-5p and ABCG1; C: mRNA levels of ABCG1 in cells treated with miR-141-5p mimics and inhibitor; D:ABCG1 protein levels in cells treated with miR-141-5p mimics and inhibitor; E:mRNA levels of ABCG1 in IM-sensitive and IM- resistant; F:Pearson correlation analysis revealed the relationship between miR-141-5p and ABCG1; *P<0.05, **P<0.01 vs NC; **P<0.01 vs imatinib-sensitive.

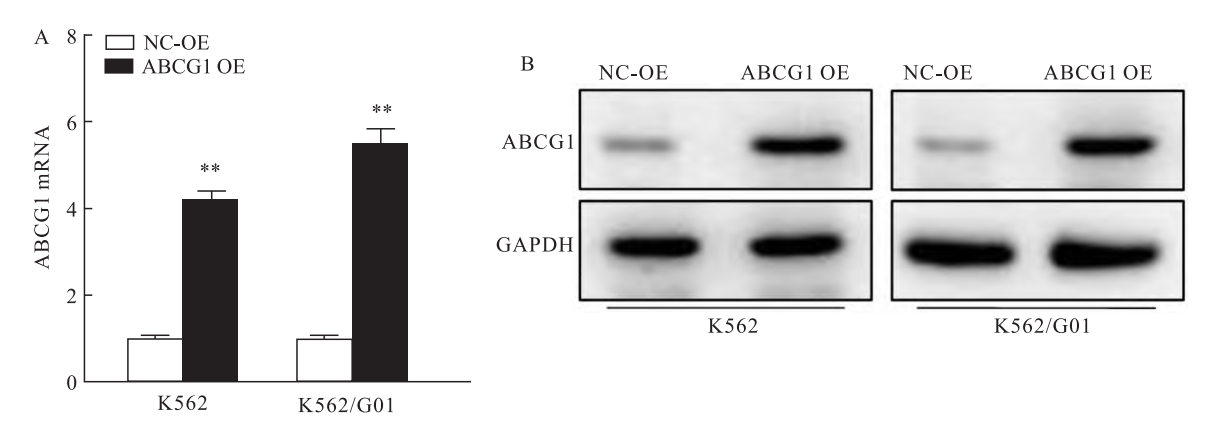


图 6 ABCG1 的表达 Fig. 6 The expression of ABCG1

A. The mRNA levels of ABCG1 in K562 and K562/G01 cells that were induced by ABCG1 OE; B. The protein levels of ABCG1 in K562 and K562/G01 cells that were induced by ABCG1 OE; **P < 0.01 vs NC-OE.

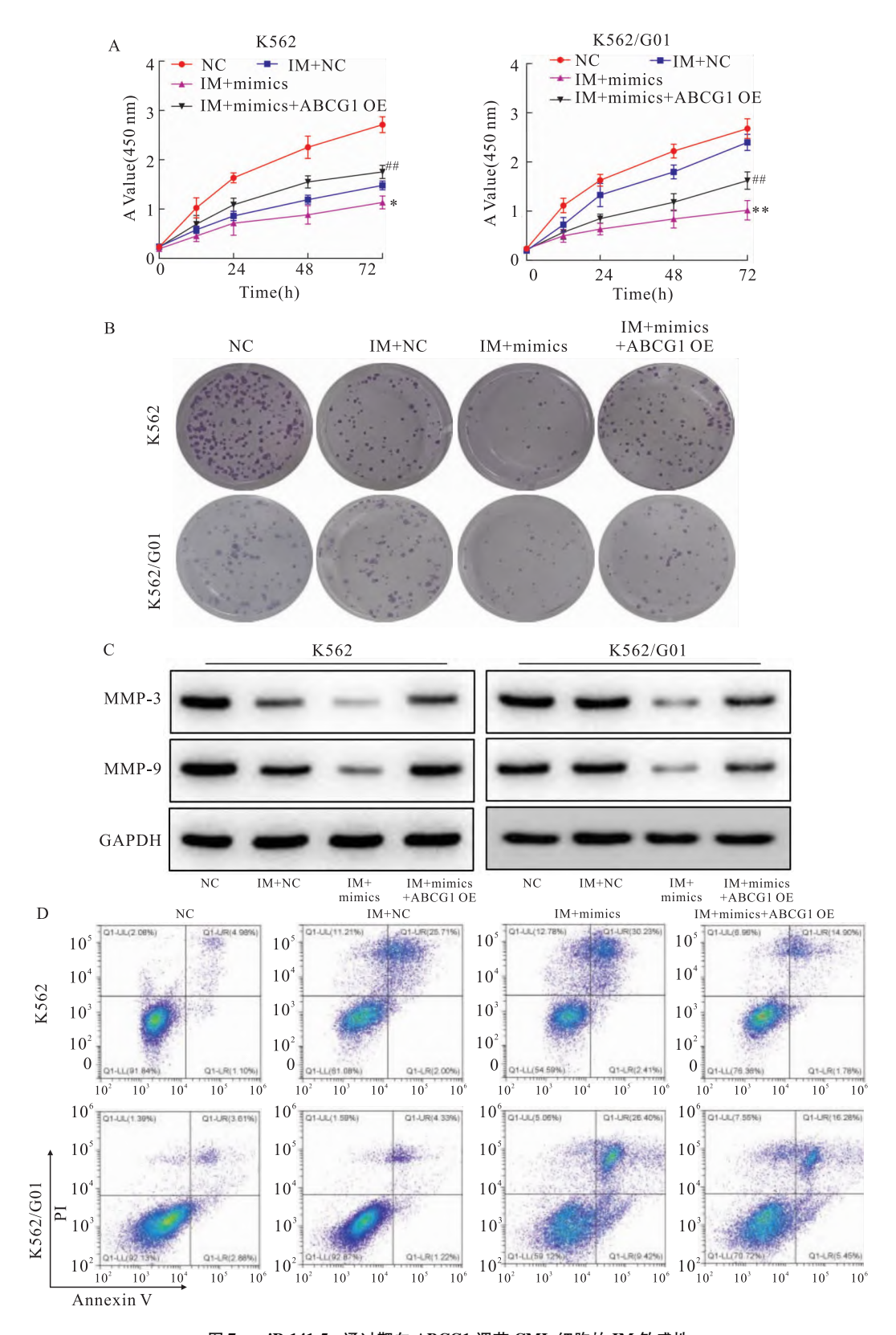


图 7 miR-141-5p 通过靶向 ABCG1 调节 CML 细胞的 IM 敏感性 Fig. 7 miR-141-5p modulates IM sensitivity of CML cells by targeting ABCG1

A: Cell viability characterized by CCK-8 assay; B: Cell proliferation assessed by colony formation assay; C: The protein expression of ABCG1 in K562 and K562/G01 cells censored by Western blot assay; D: Cell apoptosis tested by flow cytometry assay; $^*P < 0.05$, $^{**}P < 0.01$ vs IM + NC; $^{\#}P < 0.01$ vs IM + mimics.

如前所述,ABC 转运蛋白可以通过调节外排泵影响细胞对 IM 的耐药性^[14]。然而,除此之外,是否还有更重要的影响机制尚不清楚,这将是进一步研究的方向。

综上所述,通过靶向 ABCG1 表达,miR-141-5p 通过影响 IM 耐药性 CML 细胞的增殖、迁移和侵袭, 在 CML 细胞中发挥主要作用。因此,miR-141-5p/ ABCG1 轴对 IM 耐药性 CML 细胞的存活和致癌性 至关重要,并有望代表 CML 的潜在生物标志物。

参考文献

- [1] Rudich A, Garzon R, Dorrance A. Non-coding RNAs are implicit in chronic myeloid leukemia therapy resistance [J]. Int J Mol Sci, 2022, 23(20): 12271. doi:10.3390/ijms232012271.
- [2] Osman A E G, Deininger M W. Chronic myeloid leukemia: Modern therapies, current challenges and future directions [J]. Blood Rev, 2021, 49: 100825. doi:10.1016/j.blre.2021.100825.
- [3] Ciftciler R, Haznedaroglu I C. Tailored tyrosine kinase inhibitor (TKI) treatment of chronic myeloid leukemia (CML) based on current evidence [J]. Eur Rev Med Pharmacol Sci, 2021, 25 (24): 7787 - 98. doi:10.26355/eurrev_202112_27625.
- [4] Vener C, Banzi, Ambrogi F, et al. First-line imatinib vs secondand third-generation TKIs for chronic-phase CML: A systematic review and meta-analysis [J]. Blood Adv, 2020, 4(12): 2723 – 35. doi:10.1182/bloodadvances.2019001329.
- [5] Ozkan T, Hekmatshoar Y, Karabay A Z, et al. Assessment of azithromycin as an anticancer agent for treatment of imatinib sensitive and resistant CML cells [J]. Leuk Res, 2021, 102: 106523. doi:10.1016/j.leukres.2021.106523.
- [6] Bao J, Li X, Li Y, et al. MicroRNA-141-5p acts as a tumor suppressor via targeting RAB32 in chronic myeloid leukemia [J]. Front Pharmacol, 2019, 10: 1545. doi:10.3389/fphar.2019.01545.
- [7] Senapati J, Sasaki K, Issa G C, et al. Management of chronic myeloid leukemia in 2023 - common ground and common sense[J].

- Blood Cancer J, 2023, 13(1): 58. doi:10.1038/s41408 023 00823 9.
- [8] Claudiani S, Apperley J F. The argument for using imatinib in CML[J]. Hematology Am Soc Hematol Educ Program, 2018, 2018(1): 161-7. doi:10.1182/asheducation-2018.1.161.
- [9] 张红霞,王 奎,吴广胜. miR-381-3p 在急性髓系白血病中的表达及对白血病细胞增殖和凋亡的影响 [J]. 安徽医科大学学报,2023,58(7):1164-70. doi:10.19405/j. cnki. issn1000-1492.2023.07.017.
- [9] Zhang H X, Wang K, Wu G S. The expression of miR-381-3p in acute myeloid leukemia and its effect on the proliferation and apoptosis of leukemia cells[J]. Acta Univ Med Anhui, 2023, 58(7): 1164 70. doi: 10.19405/j. cnki. issn1000 1492. 2023. 07. 017.
- [10] Tang X, Ren H, Guo M, et al. Review on circular RNAs and new insights into their roles in cancer[J]. Comput Struct Biotechnol J, 2021, 19: 910 - 28. doi:10.1016/j.csbj.2021.01.018.
- [11] 任影丽, 陈治东, 孙蓓蓓, 等. miR-155 对慢性髓细胞白血病细胞凋亡及热休克蛋白表达的影响[J]. 安徽医科大学学报, 2024, 59(1): 34-9. doi; 10. 19405/j. cnki. issn1000-1492. 2024.01.006
- [11] Ren Y L, Chen Z D, Sun B B, et al. Effects of miR-155 on apoptosis of chronic myeloid leukemia cells and expression of heat shock proteins [J]. Acta Univ Med Anhui, 2024, 59(1): 34 9. doi:10.19405/j.cnki.issn1000 1492.2024.01.006
- [12] Sharma N, Baruah M M. The microRNA signatures: Aberrantly expressed miRNAs in prostate cancer [J]. Clin Transl Oncol, 2019, 21(2): 126-44. doi:10.1007/s12094-018-1910-8.
- [13] Rykova E, Ershov N, Damarov I, et al. SNPs in 3 UTR miRNA target sequences associated with individual drug susceptibility[J]. Int J Mol Sci, 2022, 23 (22): 13725. doi: 10. 3390/ ijms232213725.
- [14] Zhang H, Wang Y, Yang H, et al. TCF7 knockdown inhibits the imatinib resistance of chronic myeloid leukemia K562/G01 cells by neutralizing the Wnt/β-catenin/TCF7/ABC transporter signaling axis[J]. Oncol Rep., 2021, 45(2): 557 -68. doi:10.3892/or. 2020.7869.

MicroRNA-141-5p/ABCG1 reverses imatinib resistance in K562 chronic myeloid leukemia cells

Xu Han, Xu Tingting, Wang Wanjie, Bao Jing (Dept of Hematology, Affiliated Hospital of Anhui Medical University, Hefei 230022)

Abstract *Objective* To explore the mechanism of miR-141-5p and its effect on Imatinib (IM) resistance in CML. *Methods* qRT-PCR was used to detect miR-141-5p mRNA levels in IM resistant and sensitive patients. Western blot was used to detect the expression of proteins such as MMP-3, MMP-9, and Bcl-2 before and after transfection in K562 and K562/G01 cells. CCK-8 was used to detect of K562 and K562/G01 cell activity; Flow cytometry assay was used to detect the binding of miR-141-5p with ABCG1; Nude mice were used to validate the effect of miR-141-5p on tumors *in vivo*. *Results* The results showed that miR-141-5p was downregulated in IM-

网络出版时间:2024-11-18 16:08:48 网络出版地址:https://link.cnki.net/urlid/34.1065. R. 20241115. 1540.002

GPR108 缺失对脂多糖诱发脓毒症小鼠的炎症反应

张银涛¹,杨 萍¹,臧丹丹²,涂珍珍³,徐如月¹,周海胜^{1,2} (安徽医科大学¹生物化学教研室、²科研实验中心、³临床免疫研究所,合肥 230032)

摘要 目的 探究 G 蛋白偶联受体 108 (GPR108) 的缺失对脂多糖 (LPS) 诱导的脓毒症小鼠所产生全身性炎症反应的影响。 方法 雄性 C57BL/6 小鼠和 GPR108 基因敲除鼠随机分为 4 组: WT 组、WT-LPS 组、KO 组、KO-LPS 组。观察不同组小鼠的生理特征,肝脏、肺组织的形态变化。提取骨髓来源的巨噬细胞流式检测其 M1 极化情况,同时检测其肝脏、肺组织、巨噬细胞及血清的白细胞介素 -6 (IL-6)的表达水平。 结果 KO-LPS 组小鼠肝脏、肺组织损伤表现明显,KO-LPS 组小鼠较 WT-LPS 组小鼠骨髓源性巨噬细胞向 M1 极化的数量明显多;同时,KO-LPS 组小鼠在组织水平、细胞水平、血清水平检测 IL-6 的表达均明显高于 WT-LPS 组小鼠(P < 0.05)。 结论 在 LPS 诱导的脓毒症小鼠全身性炎症感染时,GPR108 缺失加重全身炎症反应。GPR108 对 LPS 诱导的脓毒症小鼠的炎症反应具有抑制作用。

关键词 脓毒症; G蛋白偶联受体 108; 巨噬细胞; 脂多糖; 白细胞介素 -6 中图分类号 R 34

文献标志码 A 文章编号 1000 - 1492(2024)11 - 1896 - 07 doi:10.19405/j.cnki.issn1000 - 1492.2024.11.002

脓毒症是由宿主感染反应失调引发的全身炎症反应性综合征,是烧伤、创伤以及外科手术常见的并发症,脓毒症常伴发多器官功能损伤,其中,肺及肝脏是脓毒症病情发展过程中最容易发生损伤的器官^[1]。宿主反应失调在脓毒症的发展中尤为重要,其中免疫细胞的重塑起着重要作用。当发生脓毒症感染,机体表现出促炎宿主反应,M1 巨噬细胞的过度活化,从而导致大量的白细胞介素-6 (interleukin 6, IL-6)、肿瘤坏死因子-α (tumor necrosis factor-α,

2024 - 08 - 20 接收

基金项目:国家自然科学基金项目(编号:82071832);安徽医科大学研究生科研与实践创新项目(编号:YJS20230003)

作者简介:张银涛,男,硕士研究生;

周海胜,男,教授,博士生导师,通信作者,E-mail: haishengs@ ahmu. edu. cn

TNF-α)等细胞因子产生引发细胞因子风暴^[2]。大多数脓毒症是由革兰阴性细菌感染引起的,脂多糖(lipopolysaccharide,LPS)是革兰阴性菌的细胞壁主要成分,也是诱发脓毒症的主要内毒素。LPS 通过活化 Toll 样受体 4(Toll-like receptor 4, TLR4),诱发机体产生包括 IL-6、TNF-α 在内的多种细胞因子,从而发生炎症反应,并导致肝脏、肺脏等多器官的损伤。有研究^[3]显示人体对于 LPS 反应的差异性与TLR4 的突变有关。G 蛋白偶联受体 108(G proteincoupled receptor 108,GPR108)是 G 蛋白偶联受体超家族成员,最初在人肺组织中获得 cDNA 序^[4]。前期研究^[5]表明,GPR108 是 TLRs 的负性调控分子,在参与 TLR 介导的免疫应答保持平衡状态具有重要的作用。其调控的分子机制是抑制核因子 κb (nuclear factor-κ-gene binding,NF-κB) 信号通路及

resistant CML patients and IM-resistant CML cells and overexpression of miR-141-5p could inhibit the growth of IM-resistant CML cells and promote their apoptosis. Research on tumor bearing mice had shown that miR-141-5p inhibits tumor growth *in vivo*. Finally, it was found that miR-141-5p could directly target ABCG1 in IM-resistant CML cells to regulate CML occurrence. *Conclusion* miR-141-5p and ABCG1 form a competing endogenous RNA (ceRNA) network to function in IM resistance, thus facilitating CML progression.

Key words chronic myeloid leukemia; miR-141-5p; imatinib; ABCG1; drug resistance; K562

Fund programs Natural Science Foundation of Anhui Province (No. 2008085MH296); Scientific Research Project of Anhui Medical University (No. 2020xkj186); Natural Science Research Project of Anhui Educational Committee (No. 2022AH051178)

Corresponding author Bao Jing, E-mail: baojing@ ahmu. edu. cn